

鋼橋腹板部の初期不整と耐荷力に関する統計学的研究

京都大学工学部 正員 丹羽義次
 京都大学工学部 正員 渡辺英一
 京都大学大学院 学生員 ○岩清水善隆

1. はじめに 鋼橋の初期不整と耐荷力の関係については、確定論的研究と確率論的研究がある。本研究は後者の立場を採り、鋼橋腹板部に関する既存データをもとに解析、考察を行った。そのデータは無次元化された設計パラメータと初期不整から成るが、本研究の目的として次のものが上げられる。(1) 設計パラメータの統計処理による実橋の特性の把握、(2) 初期不整の統計処理による示方書の初期不整の制限値に対する評価、(3) 理論式を用いて初期不整、設計パラメータから耐荷力を算定し、耐荷力の分布から許容初期不整の評価。なおデータとしてJSSCのIDM委員会により収集されたデータを、また統計処理方法として主にSPSS(Statistical Package for Social Sciences)¹⁾を用いた。

2. 解析方法

Fig. 1は、本研究が対象とした腹板系の詳細図を示している。

初期不整と耐荷力を関係付ける理論式として次の2つの式を取り上げた。

I. 水平補剛材の圧縮耐荷力式

腹板部分の有効幅が水平補剛材と協働すると仮定すると圧縮柱とみることができる。補剛材の突出端で塑性域に達する時

の極限耐荷力は次式で与えられる。

$$\frac{\sigma_u}{\sigma_Y} = \left(1 + \frac{c\nu}{r^2} \frac{1}{1 + \lambda \frac{\sigma_u}{\sigma_Y}} + \frac{ce}{r^2} \sec \frac{\pi}{2} \lambda \sqrt{\frac{\sigma_u}{\sigma_Y}} \right)^{-1} \quad (1)$$

$$\text{ここに} \quad \lambda = \frac{a}{r\sqrt{\pi E}} \quad (2)$$

ただし、c, r, νはそれぞれ補剛材の縁端距離、同回転半径、初期不整である。また偏心量eについては、0の場合と初期不整νに等しい場合について解析を行った。

II. 水平補剛材のねじれ座屈耐荷力式²⁾

ChatterjeeとDawlingによれば支持辺で塑性変形する荷重をもつて極限耐荷力と定義すれば、それは次式で与えられる。

$$K_{tw} = \frac{\sigma_u}{\sigma_Y} = \frac{m_y - 1}{26r^2 m_y} + 0.658 s^2 (m_y^2 - 1) \quad (3)$$

$$\left. \begin{aligned} \text{ここに} \\ 3.849r^2 s^2 m_y^2 - \frac{1}{m_y} = 2.6r^2 + 3.849r^2 s^2 - 1 \end{aligned} \right\} (4)$$

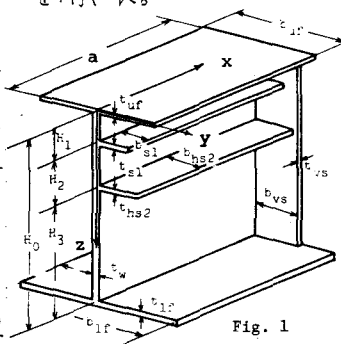
$$r = \frac{b}{t} \sqrt{\frac{\sigma_Y}{E}}, \quad s = \frac{\delta}{a\sqrt{E}}$$

ただし、δは初期不整の値である。

3. 結果及び考察

初期不整の度数分布にWeibull及びGamma分布をFittingさせ確率モデルを決定した。そのモデルより板パネルの初期不整の制限値に対する超過確率はめずかだが、補剛材の水平初期不整の制限値の超過確率は高いことがわかった。

Fig. 2は、偏心量eが0の場合のσ_u/σ_Yの度数分布を示している。これより、実在する初期不整のためσ_u/σ_Yが平均で10%強



最大で45%減少しているのが認められる。偏心量 e が初期不整 ϵ に等しい場合はそれぞれ、20%弱、60%減少した。

Fig.3は、 σ_u/σ_y と初期不整 cv/r^2 が強い相関をもっていることを示している。また式(1)に用いた設計パラメータと σ_u/σ_y との相関はあまり強くない。よって σ_u/σ_y に影響を及ぼす因子として設計パラメータよりも初期不整の方がはるかに大きいことがわかったが、当然のことであろう。

初期不整と耐荷力を1対1対応させるため、 λ としてその平均値 λ を採った。また初期不整 cv/r^2 の平均、分散をそれぞれ μ 、 σ とする。その初期不整の特性値(μ 、 $\mu+\sigma$ 、 $\mu+2\sigma$ 、 $\mu+3\sigma$ 、そして、超過確率25%、5%、10%の cv/r^2 の値)に対応する σ_u/σ_y の値とFig.2で示された σ_u/σ_y の特性値とを比較した。これから、 μ 、 $\mu+\sigma$ 、そして超過確率10% (ただし、 σ_u/σ_y ではそれぞれ μ_{10} 、 $\mu_{10}-\sigma_{10}$ 、非超過確率10%)ではほぼ一致しているのだが、 $\mu+2\sigma$ 、 $\mu+3\sigma$ 超過確率25%、5%では σ_u/σ_y で規制した方が小さい値が出てきた。これは、Fig.3からわかるように σ_u/σ_y が小さくなるほど初期不整の分散が大きいことからわかる。

次にねじれ座屈に対する耐荷力式から得られた結果をみると、 K_{su} は平均で0.1%、最大でも2%弱の低下しか認められなかった。このことより、実在する初期不整の大きさではねじれ座屈に対してあまり影響を及ぼさないことがわかった。Fig.4は K_{su} と初期不整を含んでいる λ との相関を示している。

さらにFig.3とFig.4との分布から、補剛材のねじれ座屈耐荷力より、圧縮耐荷力の方が初期不整に対して敏感であることがわかる。なお詳細な結果は当日発表する。

参考文献

- 1) 三宅, 山本: SPSS 統計パッケージI 基礎編 東洋経済新報社
- 2) Chatterjee, S & P.J. Dowling ; The Design of Box Girders, Steel Plated Structures, Crosby Lockwood Staples, London, 1977

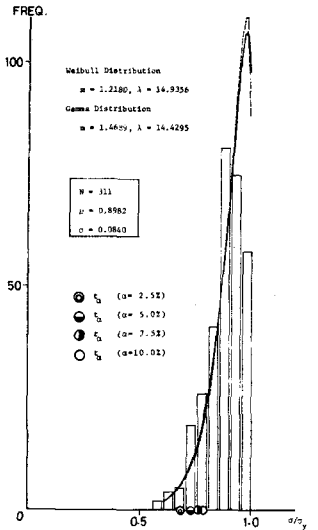


Fig. 2

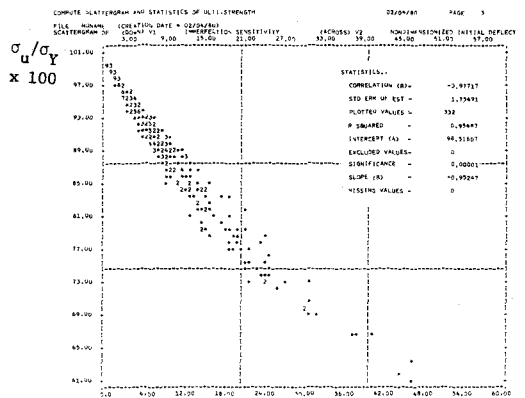


Fig. 3

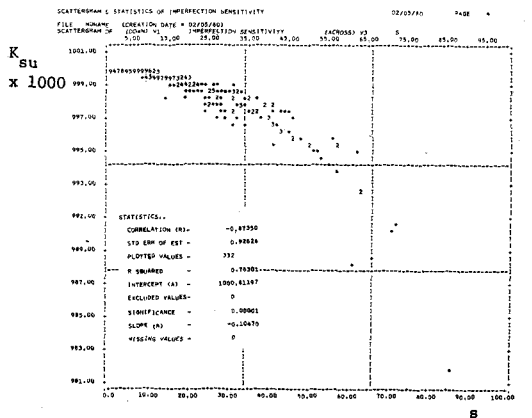


Fig. 4